

трех сечений спинового обмена (7а)–(7в) наблюдаемо только сечение $\sigma_2^{\alpha\beta}$, причем спиновый обмен (1) не влияет на ориентацию атомов ортогелия $\langle S \rangle = \text{Tr}(\rho S)$ (ρ — матрица плотности, соответствующая магнитным подуровням $m_s=1, 0, -1$ атомов He^* со спином $S=1$), а изменение выстраивания $\langle \tilde{Q} \rangle$ (с компонентами $\langle Q \rangle^{\alpha\beta} = \text{Tr}(\rho Q_{\alpha\beta})$, $Q_{\alpha\beta} = 3/2(S_\alpha S_\beta + S_\beta S_\alpha) - S^2 \delta_{\alpha\beta}$, где $\alpha, \beta = x, y, z$) в спин-обменном процессе типа (1) описывается уравнением

$$\frac{d\tilde{Q}}{dt} = - \left(2\tilde{Q} - \frac{3}{2} S^2 - \frac{1}{2} \tilde{Q}^2 \right) N_{\text{He}^*} \sigma_2^{\alpha\beta} \bar{v}, \quad (9)$$

где N_{He^*} — концентрация атомов ортогелия, \bar{v} — их относительная скорость.

В то же время изменение выстраивания ортогелия в результате хемионизации (2)

$$\frac{d\tilde{Q}}{dt} = - \left(\frac{7}{18} \tilde{Q} - \frac{5}{12} S^2 + \frac{1}{36} \tilde{Q}^2 \right) N_{\text{He}^*} \sigma^{\alpha\beta} \nu. \quad (10)$$

Последние два выражения легко получаются в предположении сохранения в процессах (1) и (2) полного спина S и его проекций на выделенное направление путем рассмотрения волновой функции системы двух атомов ортогелия в двух различных представлениях. Они могут быть также получены из общих выражений [6].

Из (7), (9), (10) и рисунка видно, что для рассматриваемой системы двух триплетных метастабильных атомов гелия спиновый обмен менее существен в деполяризации этих атомов по сравнению с хемионизацией.

Все три сечения спинового обмена (7а)–(7в) могут быть определены в экспериментах с атомами изотопа ${}^3\text{He}$, обладающего ядерным магнитным моментом.

Литература

- [1] Happer W. Rev. Mod. Phys., 1972, v. 44, N 2, p. 169–249.
- [2] Balling L. C. Adv. Quant. Electr., 1975, v. 3, p. 1–167.
- [3] Happer W. Ann. de Physique (Paris), 1985, t. 10, N 6, p. 645–658.
- [4] Блинов Е. Б., Житников Р. А., Кулешов П. П. ЖТФ, 1979, т. 49, № 3, с. 588–596.
- [5] Дмитриев С. П., Житников Р. А., Картошкин В. А. и др. ЖЭТФ, 1983, т. 85, № 3 (9), с. 840–851.
- [6] Окуневич А. И. Опт. спектр., 1983, т. 54, № 5, с. 787–794.
- [7] Картошкин В. А., Клементьев Г. В., Мельников В. Д. Письма в ЖЭТФ, 1984, т. 39, № 3, с. 132–134.
- [8] Клементьев Г. В., Мельников В. Д., Картошкин В. А. Химическая физика, 1985, т. 4, № 1, с. 37–41.
- [9] Клементьев Г. В., Картошкин В. А., Мельников В. Д. ЖТФ, 1985, т. 55, № 1, с. 131–136.
- [10] Момм H., Месси Г. Теория атомных столкновений. М.: Мир, 1969. 756 с.
- [11] Morgner H. Comments At. Mol. Phys., 1982, v. 11, N 6, p. 271–285.
- [12] Dalgarno A., Rudge M. R. H. Proc. Roy. Soc. (L.), 1965, v. A286, N 2, p. 519–524.
- [13] Garrison B. J., Miller W. H., Schaefer H. F. J. Chem. Phys., 1973, v. 59, N 6, p. 3193–3198.

Физико-технический институт
им. А. Ф. Иоффе АН СССР
Ленинград

Поступило в Редакцию
25 декабря 1986 г.

УДК 772.99

Журнал технической физики, т. 58, в. 4, 1988

ФОТОРЕФРАКТИВНАЯ ЧУВСТВИТЕЛЬНОСТЬ ПОЛИМЕРНЫХ ПЛЕНОК, СОДЕРЖАЩИХ БАКТЕРИОРОДОПСИН

Н. Г. Абдулаев, Ю. О. Барменков, С. Ю. Зайцев, В. В. Зосимов, В. П. Зубов,
Н. М. Кожевников, М. Ю. Липовская, Л. М. Лямшев

Адаптивные голограммические интерферометры для регистрации сигналов ультразвуковой фазовой модуляции [1–3] основаны на применении малоинерционных фоторефрактивных сред (ФС), постоянная времени записи фазовых решеток в которых определяет нижнюю границу частотного спектра выходного сигнала. Так как обычно частота шумовых флуктуаций фазы сигнального пучка в таких интерферометрах не превышает сотен герц [4], ФС должны

обеспечивать запись динамических голограмм за время $\tau \leq 1-10$ мс. По этой причине высокочувствительные фотопрерывательные кристаллы [5], имеющие $\tau \geq 1-10$ с, не позволяют реализовать эффективную адаптацию ультразвуковых интерферометров в широком спектре сигнала помехи. С другой стороны, известные малоинерционные ФС (например, поглощающие среды с тепловым механизмом записи [6]) обладают малой чувствительностью и требуют достаточно больших интенсивностей записывающих световых пучков. Кроме того, такие ФС обычно имеют значительную толщину (≥ 1 см), что отрицательно сказывается на работе интерферометров со спектрально-однородными световыми пучками.

Среди новых ФС для записи динамических голограмм большое внимание в последнее время привлекают к себе бактериородопсин (БР) и его аналоги [7]. Современная технология позволяет получать фотопрерывательные пленки, содержащие БР, как с большим [7], так и с малым [8] временем записи и хранения голограмм. Обладая малой толщиной (100—200 мкм), такие пленки обеспечивают адаптивную фильтрацию низкочастотных помех вплоть до $\sim 10^2$ Гц и, кроме того, эффективно работают при записи голограмм спектрально-однородными световыми пучками. Однако вопрос о предельной чувствительности этих пленок изучен недостаточно. В настоящей работе приведены результаты экспериментального исследования влияния различных факторов (интенсивностей записывающих пучков, температуры пленки) на эффективность преобразования гармонической фазовой модуляции одного из записывающих пуч-

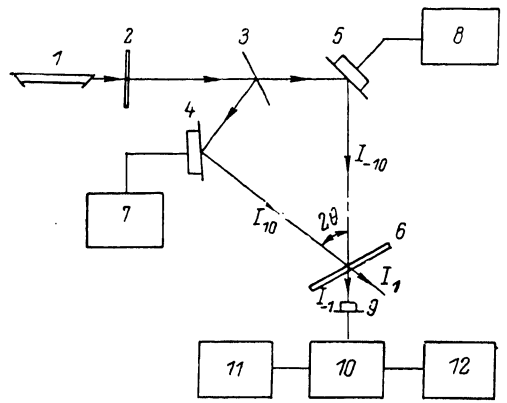


Рис. 1.

ков в модуляцию интенсивностей пучков, выходящих из ФС. Эти результаты, как показано ниже, позволяют оценить предельную амплитуду модуляции диэлектрической проницаемости фазовой решетки, записанной в использованных фотопрерывательных пленках.

Схема экспериментальной установки для измерения чувствительности и постоянной времени фотопрерывательной записи приведена на рис. 1. Излучение одномодового гелий-неонового лазера 1 ($\lambda = 0.63$ мкм, мощность до 50 мВт) ослаблялось нейтральными светофильтрами 2 и разделялось пластинкой 3 на два пучка I_{10} и I_{-10} равной интенсивности, которые зеркалами 4 и 5, наклеенными на пьезопреобразователи, сводились на пленку с БР 6. Пьезопреобразователь зеркала 4, подключенный к генератору синусоидального напряжения 7, осуществлял фазовую модуляцию пучка I_{10} с частотой $f = 10$ кГц. К пьезопреобразователю зеркала 5 подводилось ступенчатое напряжение от источника 8, позволяющее резко смещать интерференционную картину записывающих пучков. После прохождения пленки пучок I_{-1} поступал на фотоприемник 9, сигнал с которого селективно усиливался 10 и регистрировался вольтметром 11 и осциллографом 12.

Рассмотрим осуществляющееся фазовой решеткой, записанной в пленке с БР, преобразование фазовой модуляции пучка I_{10} в модуляцию интенсивностей пучков I_1 и I_{-1} , выходящих из пленки. Можно показать [9], что если период фазовой модуляции T много меньше постоянной времени записи τ фазовой решетки в среде, то последняя реагирует только на усредненное распределение интенсивности в интерференционной картине. При этом в ФС формируется стационарная синусоидальная решетка диэлектрической проницаемости с амплитудой $\delta\epsilon$, определяемой выражением

$$\delta\epsilon = \frac{2\pi\beta\tau}{\lambda \cos \theta} \sqrt{I_1(z) I_{-1}(z)} J_0(a), \quad (1)$$

где β — фотопрерывательный коэффициент, характеризующий нелинейный фотоотклик среды на световое воздействие и определяющий, таким образом, чувствительность фотопрерывательной записи; a — амплитуда фазовой модуляции пучка I_{10} ; J_0 — функция Бесселя нулевого порядка; $I_{\pm 1}(z)$ — интенсивности записывающих пучков в среде; z — координата, перпендикулярная поверхности пленки.

Мгновенная интерференционная картина записывающих пучков периодически смещается относительно фазовой решетки, обусловливая перераспределение интенсивностей между взаимодействующими пучками [9]. Для малочувствительных ФС с локальным откликом [10],

к которым относится БР, зависимости $I_{\pm 1}(d)$ на выходе из ФС ($z=d$) с учетом поглощения в среде имеют вид

$$I_{\pm 1}(d) = I_0 \exp\left(-\frac{\alpha d}{\cos \theta}\right) \mp I_\Omega \sin \Omega t + \dots, \quad (2)$$

$$I_\Omega = \frac{4\pi\beta\tau}{i\alpha} \exp\left(-\frac{\alpha d}{\cos \theta}\right) \left[1 - \exp\left(-\frac{\alpha d}{\cos \theta}\right)\right] I_0^2 J_0(a) J_1(a), \quad (3)$$

где α — коэффициент поглощения среды; d — толщина фоторефрактивной пленки; J_1 — функция Бесселя первого порядка; $\Omega=2\pi f$; I_0 — интенсивности записывающих пучков $I_{\pm 1}$; многоточием обозначены высшие гармоники колебаний $I_{\pm 1}(d)$, подавляемые селективным усилителем.

Таким образом, измерение зависимости амплитуды I_Ω от интенсивности I_0 позволяет определить значение коэффициента β , характеризующего чувствительность среды. Входящие в (3) величины α , d , a , τ могут быть измерены независимо. В частности, измерение постоянной времени τ производится по осциллограмме экспоненциального нарастания амплитуды первой гармоники I_Ω в процессе перезаписи фазовой решетки после резкого смещения интерференционной картины пучков, обусловленного смещением зеркала 5.

Вместо измерения амплитуды фазовой модуляции a удобно путем ее изменения максимизировать произведение $[J_0(a)J_1(a)]_{\max}=0.34$.

Достоинством описанной методики измерения фоторефрактивных параметров β и τ среды является ее высокая точность, обусловленная, во-первых, возможностью селективного уси-

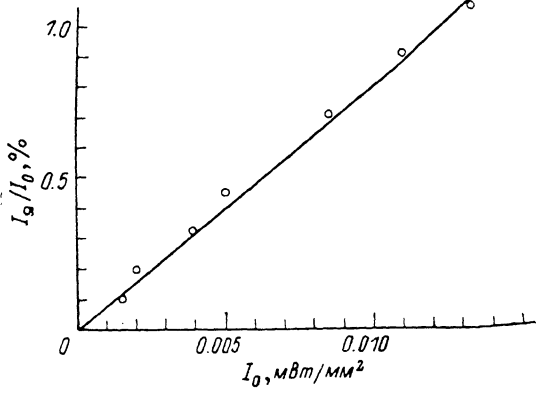


Рис. 2.

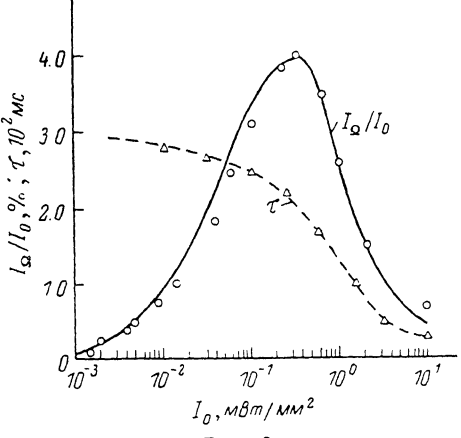


Рис. 3.

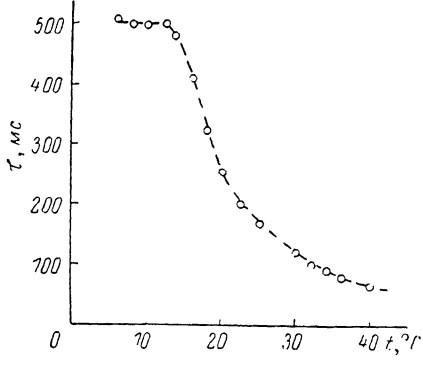


Рис. 4.

ления сигналов и, во-вторых, зависимостью измеряемой амплитуды I_Ω от амплитуды фазовой решетки $\delta\varepsilon$, в то время как традиционные методы измерения дифракционной эффективности ФС с помощью дополнительного зондирующего пучка [5] основаны на регистрации сигналов, пропорциональных $(\delta\varepsilon)^2$, что при $\delta\varepsilon \ll 1$ значительно снижает отношение сигнал/шум измерительной аппаратуры.

При малых значениях интенсивностей записывающих пучков I_0 измеренная зависимость относительной амплитуды первой гармоники I_Ω/I_0 от I_0 (рис. 2) в соответствии с (3) является линейной. По углу наклона прямой и измеренным значениям коэффициента поглощения $\alpha=-10 \text{ mm}^{-1}$, толщины пленки $d=200 \text{ мкм}$, угла схождения пучков $2\theta=60^\circ$ и постоянной времени записи $\tau \approx 300 \text{ мс}$ можно оценить значение фоторефрактивного коэффициента $\beta_0 \approx 0.05 \text{ mm}^2/\text{мДж}$.

При увеличении интенсивности I_0 относительная амплитуда I_Ω/I_0 достигает максимума (рис. 3), а затем уменьшается. Одновременно монотонно уменьшается и постоянная времени τ .

Заметных количественных изменений в поведении I_{Ω}/I_0 и τ при изменении угла схождения 2θ в диапазоне $10-130^\circ$ обнаружено не было. В связи с этим причиной уменьшения τ следует считать нагревание пленки, обусловленное поглощением излучения записывающих пучков. На рис. 4 показана зависимость τ от температуры пленки при постоянном значении $I_0 = -0.1 \text{ мВт/мм}^2$. Измерения производились в условиях терmostатирования пленки и обеспечения хорошего теплообмена ее поверхности с объемом воздушного терmostата.

Из формулы (3) видно, что при $\tau = \text{const}$ зависимость I_{Ω}/I_0 остается линейной в широком диапазоне изменений I_0 . Однако одинаковая степень уменьшения I_{Ω}/I_0 и τ при увеличении I_0 указывает на то, что при $I_0 > \sim 0.1 \text{ мВт/мм}^2$ зависимость I_{Ω}/I_0 должна выходить на насыщение. О влиянии насыщения рабочего перехода БР570-М412 на запись голограмм в пленках с БР уже указывалось в [7]. В простейшем случае эффект насыщения можно описать зависимостью фоторефрактивного коэффициента β от I_0 [11]

$$\beta = \beta_0 [1 + I_0/I_{\text{н}}]^{-1}, \quad (4)$$

где $I_{\text{н}}$ — интенсивность насыщения.

На рис. 3 сплошной линией показана зависимость I_{Ω}/I_0 от I_0 , рассчитанная по формуле (3), в которую подставлялись экспериментальные значения τ и значения β , вычисленные по формуле (4) при $I_{\text{н}} = 0.06 \text{ мВт/мм}^2$. Хорошее совпадение экспериментальных и рассчитанных значений в широком диапазоне изменения I_0 подтверждает правильность приведенной интерпретации поведения коэффициента β .

Таким образом, полученные в работе результаты показывают, что основным фактором, ограничивающим дифракционную эффективность пленок с БР, является насыщение рабочего перехода ФС. Максимальная дифракционная эффективность фазовых решеток в таких пленках реализуется путем их терmostатирования при $t \sim 10^\circ \text{C}$. Уменьшение постоянной времени записи при этом может быть достигнуто дополнительной подсветкой пленки излучением в самой области спектра [8].

Литература

- [1] Барменков Ю. О., Зосимов В. В., Кожевников Н. М. и др. ДАН СССР, 1986, т. 290, № 5, с. 1095—1098.
- [2] Степанов С. И., Трофимов Г. С. Тез. докл. VI Всес. школы-семинара по оптической обработке информации. Фрунзе, ФПИ, 1986, ч. 2, с. 34—35.
- [3] Hall T. J., Fiddy M. A., Ner M. S. Opt. Lett., 1980, v. 5, N 11, p. 485—487.
- [4] Бондаренко А. Н., Маслов Б. Я., Рудая Б. Б., Троценко В. П. ПТЭ, 1975, № 6, с. 211—213.
- [5] Петров М. П., Степанов С. И., Хоменко А. В. Фоточувствительные электрооптические среды в голографии и оптической обработке информации. Л.: Наука, 1983. 270 с.
- [6] Грозный А. В., Духовный А. М., Лещев А. А. и др. В кн.: Оптическая голография. Л.: Наука, 1979, с. 92—122.
- [7] Светочувствительные биологические комплексы и оптическая регистрация информации. Сб. научных трудов. Пущино, ОНТИ НЦБИ АН СССР, 1985. 208 с.
- [8] Барменков Ю. О., Зосимов В. В., Кожевников Н. М. и др. Письма в ЖТФ, 1986, т. 12, № 5, с. 281—284.
- [9] Винецкий В. Л., Кухтарев Н. В., Одулов С. Г., Соскин М. С. УФН, 1979, т. 129, с. 113—137.
- [10] Винецкий В. Л., Кухтарев Н. В., Соскин М. С. Квант. электр., 1977, т. 4, с. 420—425.
- [11] Зельдович Б. Я., Пилипецкий Н. Ф., Шкунов В. В. Обращение волнового фронта. М.: Наука, 1985. 240 с.

Ленинградский политехнический
институт им. М. И. Калинина

Поступило в Редакцию
25 декабря 1986 г.

Журнал технической физики, т. 58, в. 4, 1988

ФЛЮОРЕСЦЕНЦИЯ И ФОСФОРЕСЦЕНЦИЯ АМОРФНЫХ СЛОЕВ НИТРИДА КРЕМНИЯ

В. В. Васильев, И. П. Михайловский, К. К. Свиташев

Наблюдаемый в последнее время интерес к изучению люминесценции аморфного нитрида кремния ($a\text{-Si}_3\text{N}_4$) связан главным образом с необходимостью выяснения электронного спектра локализованных состояний [1-5]. В ряде работ отмечалось, что фотoluminesценция (ФЛ)